Изв. НАН и ГИУ Армении (сер. ТН), т. XLIX, № 2, 1996, с. 59-63.

УДК 620.1:539.3

машиностроение

С.А. ГАСПАРЯН, С.Х. ГЕВОРКЯН, Г.Г. ШЕКЯН, З.М. АРУТЮНЯН

ОПРЕДЕЛЕНИЕ ЭФФЕКТИВНЫХ МОДУЛЕЙ ВОЛОКНИСТЫХ КОМПОЗИЦИОННЫХ МАТЕРИАЛОВ

Բերված են տարբեր կազմության ու ծևի թելքային բաղադրությունների արդյունավետ կոշտության բնութազրերի որոշման փործարկման մեթողիկան և դրանց արդյունքները։ Դիտարկված են առաձգականության արդյունարար մոդուլների հաշվարկի տարբեր տեսական մոդելներ և ստացված արդյունքների հիմքով կատարվել է դրանց հարաբերական գնահատումը։

Приведены методика экспериментов и их результаты по определению эффективных характеристик жесткости различных по форме и строению волокнистых композитов. Рассмотрены различные модели расчета эффективных модулей упругости и дана их сравнительная оценка на базе полученных экспериментальных данных.

Ил. 3. Табл. 1. Библиогр.: 6 назв.

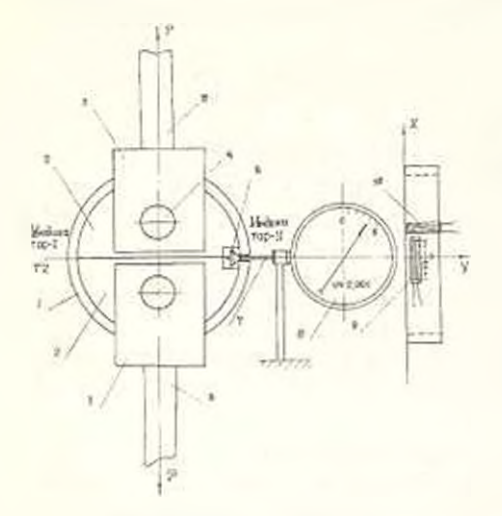
Methods of experiments and their results for determining effective characteristics of stiffness of fibre reinforced composites of different structure and form are adduced. Different theoretical models for determining the effective modulus of elastisity are considered with the comparetive evaluation on the base of obtained exterimental results is adhered.

1//, 3. Tabl. 1. Ref. 3.

Для композиционных материалов важное значение имеет знание упругих свойств, т.к. они в основном определяют прочностные и жесткостные характеристики конструкций их композитов. Имея в виду, что композит является материалом, изготовление которого, подобно конструкции, требует получения материала с заранее задаваемыми свойствами, их прогнозирование желательно выявлять посредством аналитической оценки через упругие характеристики компонентов композита. Отметим, что таких попыток аналитической оценки на основе теории гетерогенных сред и других - изрядное количество, следовательно, достигнутые в этой области результаты должны быть критически оценены с точки зрения практики.

Для этой цели проведены испытания двух различных по составу и форме волокинстых (одно- и перекрестно) армированных композитов с неметаллической и металлической матрицами - стеклопластик с матрицей эпоксидной смолы в виде полого цилиндра и боралюминий в виде пластины. Объемное содержание армирующего волокна в обоих композитах составляло 50 %. Стеклопластиковый композит испытывали на образцах в виде разрезанных на кольца цилиндров с внешним и внутрениим диаметрами d=80 мм. d₁=72 мм. шириной 15 мм. Было изготовлено специальное приспособление, позволяющее расгягивать кольцевые образцы с помощью двух полудисков, выполненных точно по внутреннему диаметру кольца, с тем, чтобы в сечениях кольца возникли только растягивающие усилия. В

силу симметрии кольца и нагрузки в сечениях кольца под измеряемыми участками имеет место одноосное напряженное состояние (рис. 1).



Ряс. 1. Схема испытания кольцевого образца:

1 - испытуемое кольцо, 2 - полудиски, 3 - вилки, 4 - палец, 5 - держатель, 6 - обратный наконечник, 7 - шток индикатор а, 8 - яндикатор изменения внутреннего диамстра кольца, 9 - тензодатчик тангенциальной деформации, 10 - индикатор осевой асформации, 11 - индикатор изменения паружного диаметра.

Относительная деформация по оси z (в радиальном направления) рассчитывалась, как $\varepsilon_3 = \Delta'/\delta$, а напряжение в окружном направлении $\sigma_1 = F/2\ell\delta$, где F—усилие растяжки кольца; $\ell\delta$ —ширина и толщина стенки кольца: Δ' —деформация толщины стенки.

Испытание боралюминия плоских прямоугольных образцов (рис. 2) размерами $\ell = 120$ мм и b = 40 мм, выбранными из условия влияния их на предел продольной прочности и вырезанными электроэрознонным методом для уменьшения остаточных деформаций, проводилось на универсальной испытательной манние УМЭ-10ТМ с электротензометрическим измерением напряжений и деформаций.

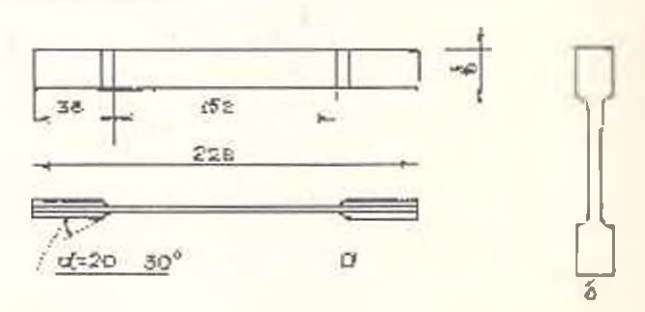


Рис. 2. Образцы для испытаний боралюминия на растяжение: а с накладками из стеклотекстолита: б - двусторонняя лопатка.

Рассматривая композит как среду, обладающую симметрией спойств в плоскости. перпендикулярной направлению ориентации волокон, по известным соотношениям [1] "напряжение-деформация определяли жесткости среды, значения которых в виде характеристик приведены в таблице.

Таблица Механические свойства композиционных материалов по результатам

экспериментов				
Материал	Предел прочности, МПа	Модуль упругости, 10 ¹⁰ Па	Модуль сдвига, 10 ¹⁰ Па	Коэфф. Пуассона
Боралюминий: угол армирова-	987	18,9	-	-
ния α=0, угол армирова- ния α=90°	65	11.5		
Стеклоткань- эпоксидное связующее:				
продольное направление,	606	1,24	0.516	0,205
радиальное направление	440	1,34	0.570	0,174

Для определения этих эффективных свойств через свойства отдельных фаз значения последних заимствованы из [2, 3].

Вариационный метод вычисления эффективных модулей упругости был предложен Хашином и Штрикманом, целью которого является сужение области Хилла. Применение вариационного метода для вычисления модулей упругости двухкомпонентных композитов приводит к следующим расчетным формулам [4]:

$$V_{2} \left[1 + V_{1} \frac{K_{2} - K_{1}}{K_{1} + K_{2}} \right]^{-1} \leq \frac{K^{*} - K_{1}}{K_{2} - K_{1}} \leq \left[1 + V_{1} \frac{K_{2} - K_{1}}{K_{1} + K_{2}} \right]$$

$$V \left[1 + V_{1} \frac{\mu_{1} - \mu_{1}}{\mu_{1} + \mu_{2}} \right] \leq \frac{\mu_{1} - \mu_{1}}{\mu_{2} - \mu_{1}} \leq \left[1 + V_{1} \frac{\mu_{2} - \mu_{1}}{\mu_{1} + \mu_{2}} \right]$$
(1)

где

$$K_{-} = -\mu_{1}, K_{+} = -\frac{4}{3}\mu_{2},$$

$$\frac{1}{\mu} = \frac{2}{3} \left[\frac{1}{\mu_{1}} - \frac{10}{9K_{1} + 8\mu_{1}} \right] = \frac{1}{\mu_{+}} = \frac{2}{3} \left[\frac{1}{\mu_{+}} - \frac{10}{9K_{+} + 8\mu_{+}} \right].$$

 V_i объемная концентрация, K_i модуль всестороннего сжатия или объемный модуль, U_i модуль сдвига.

Формула (1) для расчета эффективных модулей упругости не учитывает связности компонентов, вследствие чего приводит к значительному рассеянию результатов. Известно, что система "мягкая матрица - жесткие включения" должна обладать эффективными модулями упругости, лежащими вблизи нижней границы Хашина-Штрикмана, а система "жесткая матрица-мягкие волокна", в том числе пористые среды и материалы с трещинами - вблизи верхней [4].

Для матричных смесей с периодическим расположением включений правильной формы был разработан метод вычисления более узкой области.

чем область Хашина-Штрикмана для расчета эффективных модулей упругости, когда учитывается однородность деформированного состояния на гранях элементарных ячеек прямоугольной решетки при неоднородности напряженно-деформированного состояния внутри ячеек.

Применительно к двухфазному композиту для вычисления эффективных величин поперечного модуля сдвига и объемного модуля

плоских деформаций Йехом получены зависимости [5]:

$$\mu_{i} = \frac{\mu_{i}\mu_{m}}{V_{m}\mu_{i} + V_{i}\mu_{m}}, \quad \mu_{u} = \frac{\mu_{m}[(1-\alpha)\mu_{m} + \alpha\mu_{i}]}{(1-\alpha+\alpha^{2})\mu_{m} + \alpha(1-\alpha)\mu_{i}}, \quad (2)$$

$$K_{i} = \frac{K_{i}K_{m}}{V_{m}K_{i} + V_{i}K_{m}}, \quad K_{m} = \frac{K_{m}[(1-\alpha)K_{m} + \alpha K_{i}]}{(1-\alpha+\alpha^{2})K_{m} + \alpha(1-\alpha)K_{i}},$$
 (3)

где μ_i , μ_m —модули сдвига волокон и матрицы; μ_u , μ_i —верхняя и нижняя гранины вилки для эффективных модулей упругости: K_i , K_m —объемные модули плоских деформаций волокон и матрицы: $V_i = \alpha^3$, $V_m = 1 - \alpha^3$ —объемная концентрация

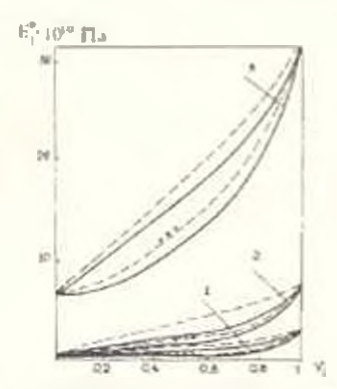


Рис. 3. Эффективный модуль 1 - савига | µ ° стеклопластика,

2 - упругости Е₁ стеклопластика.

3 - упругости Е₁ боралюминия

Другие эффективные характеристики (продольный модуль Юнга Е, и соответствующий ему коэффициент Пуассова V₂) можно выразить через К при помощи соотношении, предложенных [6]. Пятую эффективную характеристику (поперечный модуль Юнга) можно определить при помощи схотношения

$$1/E_1' = 1/4\mu^2 + 1/4K^2 + v_2^2/E_2^2$$

где и К Е, и V, определяются согласно (2). (3). На рис. 3 представлены области Йеха (сплошные линии), Хашина-Штрикмана (штриховые линии) и экспериментальные данные (точки) пля композита "стекловолокно", яля которого Е = 7 10 Па. Е = 0,32 10 Па. v = 0,25,

 $v_{ii}=0.35$. Как видно (рис. 3), экспериментальные точки лежат вблизи нижней границы области Хашина-Штрихмана и согласуются с областью Иеха. Аналогичные результаты получены для боралюминиевого композиционного материала (рис. 3), для которого $E_i=31\cdot10^{10}~ \Pi a$, $E_{ii}=6.8\cdot10^{10}~\Pi a$, $v_i=0.3$, $v_{ii}=0.3$.

ЛИТЕРАТУРА

1 Кристенсен Р. Введение в механику композитов - М.: Мир. 1982. - 334 с.

2. Портной К.И. и др. Структура и свойства комполиционных материалов. М.: Машиностроение, 1979. - 255 с.

 Справочник по композиционным материалам. В двух ки. / Под ред. Дж. Любина. -М.: Машиностроение, 1988. - 584 с. 4. Hashin Z., Shtrikman S. On some variational principles in anisotropic and nonhomogeneous elasticity // J. Mech. Phys. Solids. - 1962. - 10, N 4. - 335 p.

5. Jeh R.H.T. Variational bounds of unidirectional fiberreinforces composities // J. Appl.

Phys. - 1973. - 44, N 2. - 662 p.

6. Hill R. Theory of mechanical properties of fibre-stregthened materials U I clastic behaviour // J. Mech. Phys. Solids. - 1964. - 12, N 4. - 199 p.

ГИУА 24.05.1996

Изв. НАН и ГИУ Армении (сер. ТН), т. XLIX, № 2, 1996, с. 63-66.

УДК 621.9.06.012

МАШИНОСТРОЕНИЕ

З.А. МАНВЕЛЯН

РАСЧЕТ ДИНАМИКИ ИСПОЛНИТЕЛЬНОГО МЕХАНИЗМА АВТОМАТИЧЕСКОГО МАНИПУЛЯТОРА

Սանիպուլյատորի նախագծման ուրվագծային հարմարադասման փուլում նոր ստեղծվող կառուցվածքը վերջնականորեն կարելի է գնահատել միայն դինամիկական հաշվարկի հիման վրա, որտեղ հաշվի են առնվում արագության փոփոխությունը և շարժվող զանգվածների իներտությունը։ Ստացված բանձևերը հնարավորություն են ընձեռում նախագծման փուլում հիմնավորված ընտրելու մանիպուլյատորի շարժաբերի պարամետրերը, քանի որ կարելի է հաշվարկել այն ճիգերն ու մոմենտները որոնք զարգացնում է մանիպուլյատորի շարժաբերը։

На стадии эскизного проектирования создаваемый вариант конструкции манипулятора окончательно можно оценить лишь на основе динамических расчетов, при которых учитываются изменение скорости в процессе движения и инертность движущихся масс. Полученные формулы позволяют на стадии проектирования обоснованно выбирать параметры приводов механизмов манипулятора, так как можно рассчитать моменты и усилия, развиваемые приводами.

Ил. Г. Библиогр.: 4 назв.

In sketch design stage this manipulator construction can definitively be estimated only on the basis of dynamic calculations and the change of the speed in motion process and inertia of moving masses are taken into account. The obtained formulas permitted to select the parameters of the manipulator mechanizm drives on the stage of designing, as it is possible to calculate the moment and force developed by the drives.

1// 1. Ref. 4.

Исполнительные механизмы манипуляторов являются механическими системами со сложным динамическим поведением, определяющими взаимодействие отдельных степеней подвижности и нелинейные эффекты, обусловленные корнолисовыми и центробежными силами.

Возросшие требования к качеству функционирования роботов, увеличение скоростей их движения и требуемой точности приводят к необходимости учета динамических характеристик манипуляторов при ностроении систем управления и конструкции манипулятора. Еще на стадии эскизного проектирования создаваемый вариант конструкции манипулятора